

第5章**计算机控制系统的常用
设计技术**

计算机控制系统的设计,是指在给定系统性能指标的前提下,设计出控制器的控制规律和相应的数字控制算法。本章主要介绍计算机控制系统常用的设计技术,包括数字 PID 控制器的设计方法、数字控制器的直接设计方法、纯滞后控制技术、串级控制技术、前馈-反馈控制技术和解耦控制技术设计方法。数字控制器的直接设计方法主要介绍最少拍数字控制器设计方法。对大多数系统,采用这些常用的设计技术均能达到满意的控制效果,但对于复杂及有特殊控制要求的系统,则需要采用复杂控制技术,甚至采用现代控制和智能控制技术。

5.1 数字 PID 控制器的设计方法

PID 是 Proportional(比例)、Integral(积分)、Differential(微分)三词的缩写。PID 调节的实质就是根据偏差的比例、积分、微分的函数关系进行运算,并将运算结果进行控制。PID 调节是连续系统中技术最成熟、应用最广泛的一种调节方式。PID 调节器结构简单、参数易于整定,在长期应用中积累了丰富的经验,特别是在工业过程中,由于控制对象的精确数学模型难以建立,系统的参数又经常发生变化,运用现代控制理论进行分析综合要耗费很大代价进行模型辨识,但往往不能得到预期的效果,所以人们常采用 PID 调节器,并根据经验进行在线整定。由于计算机系统的灵活性,PID 算法修正可更加完善。本节将重点介绍数字 PID 控制算法以及与此有关的问题。

5.1.1 模拟 PID 调节器

PID 调节器是一种线性调节器,这种调节器是将设定值 r 与实际输出值 y 进行比较构成偏差 e ,即 $e=r-y$,并将其比例、积分、微分通过线性组合构成控制量 u ,所以简称 PID 调

节器。在实际应用中,根据对象的特性和控制要求,也可灵活地改变其结构,取其中一部分环节构成控制规律,例如,比例(P)调节器、比例积分(PI)调节器、比例微分(PD)调节器等。

如图 5.1 所示的 PID 控制,其模拟调节器的传递函数为

$$D(s) = \frac{U(s)}{E(s)} = K_p + \frac{K_i}{s} + K_d s = K_p \left(1 + \frac{1}{T_i s} + T_d s \right) \quad (5-1)$$

其控制规律为

$$u(t) = K_p \left[e(t) + \frac{1}{T_i} \int_0^t e(t) dt + T_d \frac{de(t)}{dt} \right] \quad (5-2)$$

式中, K_p 为比例增益,与比例带 δ 成倒数关系,即 $K_p = 1/\delta$; T_i 为积分时间常数; T_d 为微分时间常数; $u(t)$ 为控制量; $e(t)$ 为偏差。

1. 比例调节器

比例调节器是最简单的一种调节器,其控制规律为

$$u = K_p e + u_0 \quad (5-3)$$

式中, u_0 为控制量的基准,也就是 $e=0$ 时的控制作用(如阀门起始开度、基准电信号等)。

图 5.2 显示了比例调节器对于偏差阶跃变化的时间响应。

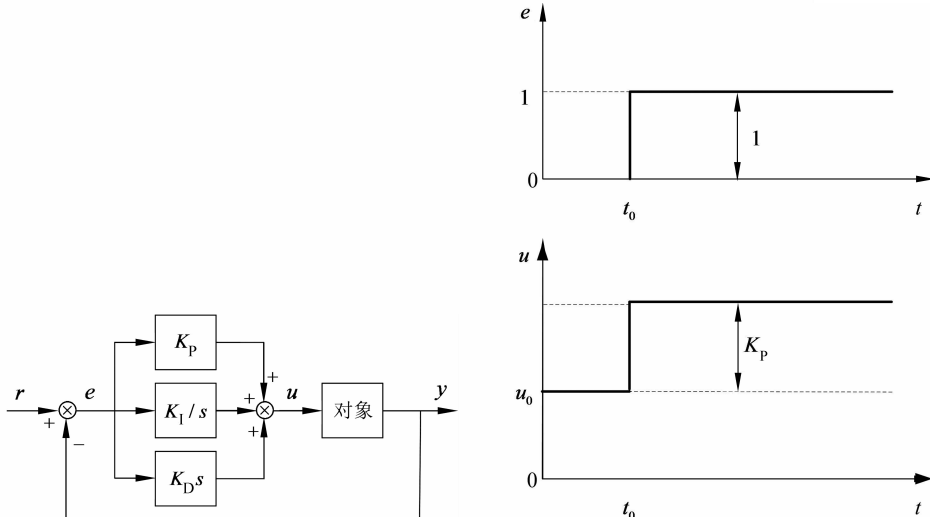


图 5.1 模拟 PID 控制

图 5.2 比例调节器的阶跃响应

比例调节器对于偏差 e 是即时反应的,偏差一旦产生,调节器立即产生控制作用使被控量朝着减小偏差的方向变化,控制作用的强弱取决于比例系数 K_p 。

比例调节器虽然直观快速,但有可能存在跟踪静差,如对于具有自平衡性(即系统的阶跃响应值为一有限值)的控制对象,就可能存在静差。加大比例系数 K_p 可以减小静差,但当 K_p 过大时,会使动态响应质量变差,引起被控量震荡,甚至导致闭环不稳定。

2. 比例积分调节器

为了消除在比例调节器中残存的静差,可以在比例调节器的基础上增加积分调节,形成

积分调节器,其控制规律为

$$u(t) = K_p \left[e(t) + \frac{1}{T_i} \int_0^t e(t) dt \right] + u_0 \quad (5-4)$$

从图 5.3 中可看出,PI 调节器对于偏差的阶跃响应除按比例变化的成分外,还带有累积的成分。只要偏差 e 不为零,它将通过累积作用影响控制量 u ,并减小偏差,直至偏差为零,控制作用不再变化,系统才能达到稳态。因此,积分环节的加入有助于消除系统静差。

显然,如果积分时间 T_i 大,则积分作用弱;反之,积分作用强。增大 T_i 将减慢消除静差的过程,但可减小超调,提高稳定性。 T_i 可根据对象特性选定,对于管道压力、流量等滞后不大的对象, T_i 可以选小一些;对温度等滞后较大的对象, T_i 可以选大一些。

3. 比例积分微分调节器

积分调节作用的加入虽然可以消除静差,但付出的代价是降低了响应速度。为了加快控制过程,有必要在偏差出现或变化的瞬间,不但对偏差量做出即时反应(即比例调节作用),而且对偏差量的变化做出反应,或者说按偏差变化的趋向进行控制,使偏差消灭于萌芽状态。为了达到这一目的,可以在上述 PI 调节器的基础上再增加微分调节,以得到 PID 调节器,其控制规律为

$$u(t) = K_p \left[e(t) + \frac{1}{T_i} \int_0^t e(t) dt + T_d \frac{de(t)}{dt} \right] + u_0 \quad (5-5)$$

理想的 PID 调节器对偏差阶跃变化的响应如图 5.4 所示,它在偏差 e 阶跃变化的瞬间 $t=t_0$ 处有一冲击式瞬时响应,这是由附加的微分环节引起的。

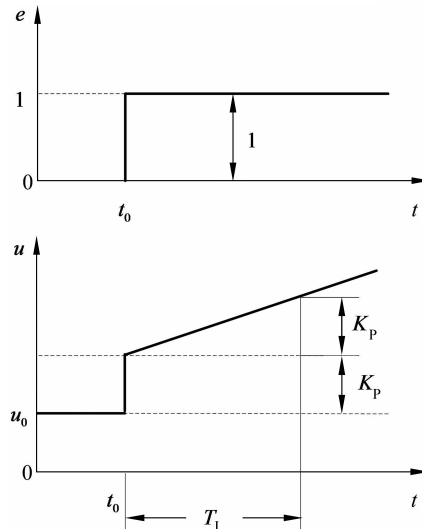


图 5.3 比例积分调节器的阶跃响应

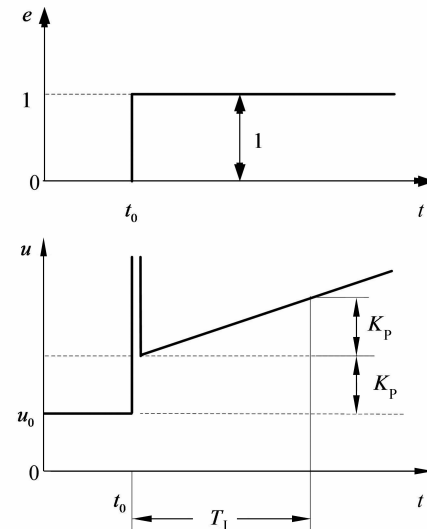


图 5.4 理想的 PID 调节器对偏差阶跃变化的响应

由加入的微分环节 $u_d = K_p T_d \frac{de(t)}{dt}$ 可见,它对偏差的任何变化都产生一个控制作用

u_d , 以调整系统输出, 阻止偏差的变化。偏差变化越快, u_d 越大, 反馈校正作用也越大, 故微分作用的加入将有助于减小超调, 克服震荡, 使系统趋于稳定。它加快了系统的动作速度, 减少了调整时间, 从而改善了系统的动态性能。

在工业控制过程中, 模拟 PID 调节器有电动、气动、液压等多种类型。这类模拟调节仪表是用硬件实现 PID 调节规律的, PID 参数之间的选择有一定约束。自从计算机进入控制领域以来, 用计算机软件(包括 PLC 的指令)实现 PID 调节算法不但成为可能, 而且具有更大的灵活性。下面介绍数字 PID 控制算法。

5.1.2 数字 PID 控制算法

由于计算机控制是一种采样控制, 它只能根据采样时刻的偏差值计算控制量, 因此式(5-5)中的积分和微分项不能直接准确计算, 只能用数值计算的方法逼近, 用求和代替积分、用后向差分代替微分, 使模拟 PID 离散化为差分方程。在采样周期足够短时, 可作如下近似:

$$u(t) \approx u(k) \quad (5-6)$$

$$e(t) \approx e(k) \quad (5-7)$$

$$\int_0^t e(t) dt = \sum_{i=0}^k e(i) \Delta t = \sum_{i=0}^k T e(i) \quad (5-8)$$

$$\frac{de(t)}{dt} \approx \frac{e(k) - e(k-1)}{\Delta t} = \frac{e(k) - e(k-1)}{T} \quad (5-9)$$

式中, T 为采样周期; k 为采样序号, $k=0, 1, 2, \dots, n$; 用这种方法近似, 可以得到两种形式的数字 PID 控制算法。

1. 位置式 PID 算法

由式(5-5)~式(5-9)可得离散化之后的表达式为

$$u(k) = K_p \left\{ e(k) + \frac{T}{T_i} \sum_{i=0}^k e(i) + \frac{T_D}{T} [e(k) - e(k-1)] \right\} \quad (5-10)$$

式(5-10)表示的控制算法提供了第 k 次采样时调节器的输出 $u(k)$ 。在数字控制系统中, 表示第 k 个采样时刻执行机构应达到的位置。如果执行机构采用调节阀, 则 $u(k)$ 就对应阀门的开度, 所以式(5-10)通常被称为数字 PID 位置型控制算法。

由式(5-10)可以看出, 数字调节器的输出 $u(k)$ 与过去的所有偏差信号有关, 计算机需要对 $e(i)$ 进行累加, 运算工作量很大, 而且计算机的故障可能使 $u(k)$ 做大幅度的变化, 这种情况往往使控制很不方便, 有些场合还可能造成严重事故。因此, 在实际控制系统中不常用这种方法。

2. 增量式 PID 算法

由于位置式 PID 控制算法使用起来不够方便, 不仅对偏差进行累加, 占用较多的存储单元, 而且不方便编写程序, 所以需要做一些改进, 对式(5-10)取增量 $\Delta u(k)$, 方法如下。

根据递推原理, 写出位置式 PID 算法的第 $(k-1)$ 次输出 $u(k-1)$ 的表达式为

$$u(k-1) = K_p \left\{ e(k-1) + \frac{T}{T_1} \sum_{i=0}^{k-1} e(i) + \frac{T_D}{T} [e(k-1) - e(k-2)] \right\} \quad (5-11)$$

用式(5-10)减去式(5-11),可得数字 PID 增量式控制算法为

$$\begin{aligned} \Delta u(k) &= u(k) - u(k-1) \\ &= K_p \left\{ e(k) - e(k-1) + \frac{T}{T_1} e(k) + \frac{T_D}{T} [e(k) - 2e(k-1) + e(k-2)] \right\} \\ &= K_p [e(k) - e(k-1)] + K_I e(k) + K_D [e(k) - 2e(k-1) + e(k-2)] \end{aligned} \quad (5-12)$$

式中, K_p 为比例系数; $K_I = \frac{K_p T}{T_1}$ 为积分系数; $K_D = \frac{K_p T_D}{T}$ 为微分系数。

式(5-12)的输出 $\Delta u(k)$, 表示第 k 次与第 $(k-1)$ 次调节器的输出差值, 即在第 $(k-1)$ 次的基础上增加(或)减少的量。在很多控制系统中, 由于执行机构是步进电动机或多圈电位器进行控制的, 所以只给出一个增量信号即可。

增量式算法和位置式算法本质上没有大的区别, 虽然增量式算法只是在位置式算法的基础上做了一点改动, 但却具有以下 3 个优点。

(1) 增量算法不需要做累加, 控制量增量的确定仅与最近几次误差采样值 $e(k)$ 、 $e(k-1)$ 、 $e(k-2)$ 有关, 计算误差或计算精度对控制量的计算影响较小。位置式控制算法要用到过去的误差的累加, 容易产生大的累加误差。

(2) 增量式算法得出的是控制量的增量, 如阀门控制中只输出阀门开度的变化部分, 误动作影响小, 必要时通过逻辑判断限制或禁止本次输出, 不会严重影响系统的工作。位置式算法的输出是控制量的全量输出, 误动作影响大。

(3) 在位置式控制算法中, 由手动到自动切换时, 必须首先使计算机的输出值等于阀门的原始开度, 即 $u(k-1)$, 才能保证手动到自动的无扰动切换, 这将给程序设计带来困难。增量式设计只与本次的偏差值有关, 与阀门原来的位置无关, 因而可以实现手动/自动的无扰动切换。

5.1.3 数字 PID 控制算法的改进

数字 PID 控制是应用最普遍的一种控制规律。但如果单纯地用数字 PID 控制器模仿模拟调节器, 不会获得很好的控制效果。为了得到更好的控制效果, 人们在实践中不断总结经验, 不断改进, 提出了不同的改进方法, 因而产生了一系列的改进型 PID 控制算法。本节介绍几种常用的 PID 改进算法。

1. 积分项的改进

在 PID 控制中, 积分的作用是消除残差。为了提高控制性能, 对积分项可以采取以下 4 条改进措施。

(1) 积分分离。

在一般的 PID 控制中, 在过程的启动、结束、大幅度增减设定值或出现较大的扰动时, 短时间内系统的输出会出现较大的偏差。由于系统的惯性和滞后性, 在积分项的作用下, 往往

引起系统的输出产生较大的超调量和长时间的波动。特别是对于温度、成分等变换缓慢的过程,这一现象更为严重。但是,在某些生产过程中,这是绝对不允许的。为了防止这种现象发生,可以引进积分分离算法。

积分分离 PID 算法的基本思想是:设置一个积分分离阈值 β ,当 $|e(k)| \leq \beta$ 时,采用 PID 控制,以便于消除静差,提高控制精度;当 $|e(k)| > \beta$ 时,采用 PD 控制,以使超调量大幅度降低。采用积分分离 PID 算法,既可以保持积分的作用,又减小了超调量,使得控制性能有较大的改善。

积分分离 PID 算法可以表示为

$$u(k) = K_P e(k) + \alpha K_I \sum_{i=0}^k e(i) + K_D [e(k) - e(k-1)] \quad (5-13)$$

或

$$\Delta u(k) = K_P [e(k) - e(k-1)] + \alpha K_I e(k) + K_D [e(k) - 2e(k-1) + e(k-2)] \quad (5-14)$$

式(5-13)和式(5-14)中, α 为逻辑变量,其取值为

$$\alpha = \begin{cases} 1, & |e(k)| \leq \beta \\ 0, & |e(k)| > \beta \end{cases} \quad (5-15)$$

积分分离阈值 β 的选取要依据具体控制对象及控制要求而定。若 β 过大,则达不到积分分离的目的;若 β 过小,则一旦被控制量 $y(t)$ 无法跳出积分分离区,就只能进行 PD 控制,将会出现静差,如图 5.5 中的曲线 b 所示。

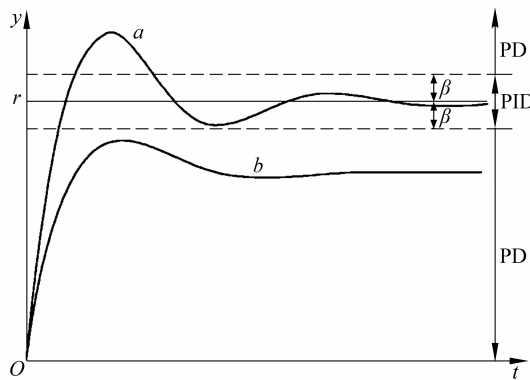


图 5.5 积分分离曲线

(2) 抗积分饱和。

因长时间出现偏差或偏差较大,计算出的控制量有可能溢出,或小于零。所谓溢出,就是计算机运算得出的控制量 $u(k)$ 超出 D/A 转换器所能表示的数值范围。例如,8 位 D/A 转换器的转换范围为 00H~FFH(H 表示十六进制)。一般执行机构有两个极限位置,如调节阀全开或全关。设 $u(k)$ 为 FFH 时,调节阀全开; $u(k)$ 为 00H 时,调节阀全关。为了提高

运算精度,通常采用双字节或浮点数计算 PID 差分方程式。如果执行机构已到极限位置,仍然不能消除偏差时,由于积分作用,尽管计算 PID 差分方程式所得的运算结果继续增大或减小,但执行机构已无相应的动作,这就称为积分饱和。当出现积分饱和时,势必使超调量增加,控制品质变坏。作为防止积分饱和的办法之一,可对计算出的控制量 $u(k)$ 限幅,同时把积分作用切除掉。若以 8 位 D/A 为例,则有

$$\begin{aligned} \text{当 } u(k) < 00H, \text{ 取 } u(k) = 00H; \\ \text{当 } u(k) > FFH, \text{ 取 } u(k) = 0FFH. \end{aligned}$$

(3) 梯形积分。

在 PID 控制中,积分项的作用是消除静差。为了减小静差,应提高积分项的运算精度。为此,可将矩形积分改为梯形积分,其计算公式为

$$\int_0^t e(t) dt \approx \sum_{i=0}^k \frac{e(i) + e(i-1)}{2} \cdot T \quad (5-16)$$

(4) 消除积分不灵敏区。

由式(5-12)可知,数字 PID 的增量型控制算式中的积分项的输出为

$$\Delta u_1(k) = K_p e(k) = K_p \frac{T}{T_1} e(k) \quad (5-17)$$

由于计算机字长的限制,当运算结果小于字长所能表示的数的精度时,计算机就作为“零”将此数丢掉。从式(5-17)可以看出,当计算机的运行字长较短,采样周期 T 也短,而积分时间常数 T_1 又较长时, $\Delta u_1(k)$ 容易出现小于字长的精度而丢数,此积分作用消失,这就称为积分不灵敏区。例如,某温度控制系统,温度量程为 $0\sim 1275^\circ\text{C}$,D/A 转换为 8 位,并采用 8 位字长定点运算。设 $K_p=1$, $T=1\text{s}$, $T_1=10\text{s}$, $e(k)=50^\circ\text{C}$, 根据式(5-17)得

$$\Delta u_1(k) = K_p \frac{T}{T_1} e(k) = \frac{1}{10} \times \left(\frac{255}{1275} \times 50 \right) = 1$$

上式说明,如果偏差 $e(k) < 50^\circ\text{C}$, 则 $\Delta u_1(k) < 1$, 计算机就作为“零”将此数丢掉,控制器就没有积分作用。只有当偏差达到 50°C 时,才会有积分作用。这样势必造成控制系统的残差。

为了消除积分不灵敏区,通常采用以下措施。

- ① 增加 D/A 和 A/D 转换位数,加长运算字长,这样可以提高运算精度。
- ② 当积分项 $\Delta u_1(k)$ 连续 n 次出现小于输出精度 ϵ 的情况时,不要把它们作为“零”舍掉,而是把它们一次次累加起来,即

$$S_1 = \sum_{i=1}^n \Delta u_1(i) \quad (5-18)$$

直到累加值 S_1 大于 ϵ 时,才输出 S_1 ,同时把累加单元清零。

2. 微分项的改进

(1) 不完全微分 PID 控制算法。

微分环节的引入是为了改善系统的动态性能,但对于具有高频扰动的生产过程,微分作用的响应过于灵敏,容易引起控制过程振荡,反而会降低控制品质。例如,当被控制量突然

变化时,正比于偏差变化率的微分输出就会很大,而计算机对每个控制回路输出时间是短暂的,且驱动执行器动作又需要一定的时间,如果输出较大,在短暂的时间内,执行器可能达不到控制量的要求值,实质上是丢失了控制信息,致使输出失真,这就是所谓的微分失控。为了克服这一缺点,同时又要使微分作用有效,可以在 PID 控制器的输出端再串联一阶惯性环节(如低通滤波器),抑制高频干扰,平滑控制器的输出,这样就组成了不完全微分 PID 控制器,如图 5.6 所示。

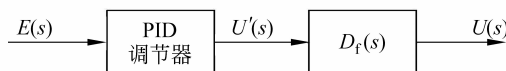


图 5.6 不完全微分 PID 控制器

一阶惯性环节 $D_f(s)$ 的传递函数为

$$D_f(s) = \frac{1}{T_f s + 1} \quad (5-19)$$

因为

$$u'(t) = K_p \left[e(t) + \frac{1}{T_i} \int_0^t e(t) dt + T_D \frac{de(t)}{dt} \right] \quad (5-20)$$

$$T_f \frac{du(t)}{dt} + u(t) = u'(t) \quad (5-21)$$

所以

$$T_f \frac{du(t)}{dt} + u(t) = K_p \left[e(t) + \frac{1}{T_i} \int_0^t e(t) dt + T_D \frac{de(t)}{dt} \right] \quad (5-22)$$

对式(5-22)进行离散化处理,可得到不完全微分 PID 位置式控制算法。

$$u(k) = \alpha u(k-1) + (1-\alpha) u'(k) \quad (5-23)$$

$$\text{式中, } u'(k) = K_p \left\{ e(k) + \frac{T}{T_i} \sum_{i=0}^k e(i) + \frac{T_D}{T} [e(k) - e(k-1)] \right\}, \alpha = \frac{T_f}{T_f + T}.$$

与普通 PID 控制算法一样,不完全微分 PID 控制算法也有增量式控制算法,即

$$\Delta u(k) = \alpha \Delta u(k-1) + (1-\alpha) \Delta u'(k) \quad (5-24)$$

$$\text{式中, } \Delta u'(k) = K_p [e(k) - e(k-1)] + K_i e(k) + K_D [e(k) - 2e(k-1) + e(k-2)].$$

在单位阶跃输入作用下,普通 PID 控制算法和不完全微分 PID 控制算法的阶跃响应比如图 5.7 所示。由图 5.7 可见,普通 PID 控制中的微分作用只在第一个采样周期内起作用,而且作用较强。一般的执行机构无法在较短的采样周期内跟踪较大的微分作用输出,而且理想微分容易引起高频干扰;不完全微分 PID 控制中的微分作用能缓慢地维持多个采样周期,使得一般的工业执行机构能较好地跟踪微分作用的输出。又由于其中含有一个低通滤波器,因此抗干扰能力较强。

(2) 微分先行 PID 控制算法。

为了避免给定值的升降给控制系统带来冲击,如超调量过大、调节阀动作剧烈,可采用如图 5.8 所示的微分先行 PID 控制方案。它和普通 PID 控制的不同之处在于,它只对被控

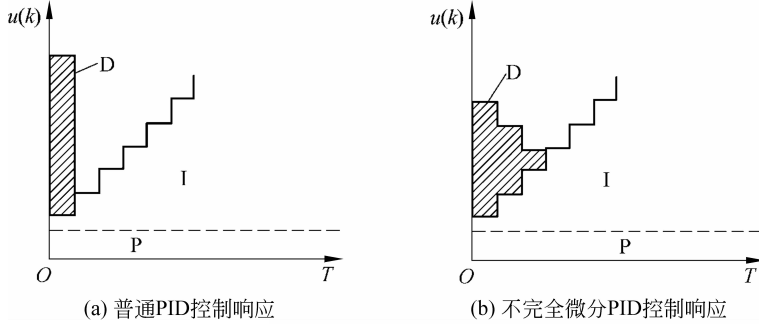


图 5.7 PID 控制的阶跃响应比较

量 $y(t)$ 微分, 不对偏差 $e(t)$ 微分, 也就是对给定值 $r(t)$ 无微分作用。被控量微分 PID 控制算法称为微分先行 PID 控制算法, 该算法对给定值频繁升降的系统无疑是有效的。图 5.8 中, γ 为微分增益系数。

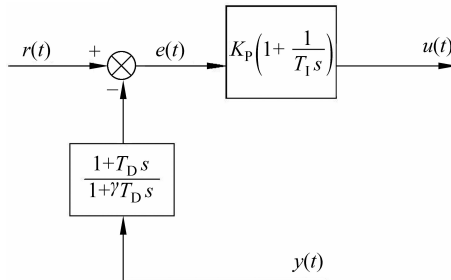


图 5.8 微分先行 PID 控制框图

3. 时间最优 PID 控制

最大值原理是庞特里亚金(Pontryagin)于 1956 年提出的一种最优控制理论。最大值原理也称快速时间最优控制原理, 它是研究满足约束条件下获得允许控制的方法。用最大值原理可以设计出控制变量只在 $u(t) \leq 1$ 范围内取值的时间最优控制系统。而在工程上, 设 $u(t) \leq 1$ 都只取 ± 1 两个值, 而且依照一定法则加以切换, 使系统从一个初始状态转到另一个状态所经历的时间最短, 这种类型的最优切换系统称为开关控制(Bang-Bang 控制)系统。

在工业控制应用中最有发展前途的是 Bang-Bang 控制与反馈控制相结合的系统, 这种控制方式在给定值升降时特别有效, 具体形式为

$$|e(k)| = |r(k) - y(k)| \begin{cases} > \alpha, & \text{Bang-Bang 控制} \\ \leq \alpha, & \text{PID 控制} \end{cases}$$

时间最优位置随动系统理论上应采用 Bang-Bang 控制, 但 Bang-Bang 控制很难保证足够的定位精度, 因此对于高精度的快速伺服系统, 宜采用 Bang-Bang 控制和线性控制相结合的方式, 在定位线性控制段采用数字 PID 控制就是可选的方案之一。

4. 带死区的 PID 控制算法

在计算机控制系统中,某些生产过程对控制精度要求不是很高,但希望系统工作平稳,执行机构不要频繁动作。针对这类系统,人们提出了一种带死区的 PID 控制算法,即在计算机中人为地设置一个不灵敏区,如图 5.9 所示,相应的算式为

$$p(k) = \begin{cases} e(k), & \text{当 } |r(k) - y(k)| = |e(k)| > \epsilon \\ 0, & \text{当 } |r(k) - y(k)| = |e(k)| \leq \epsilon \end{cases}$$

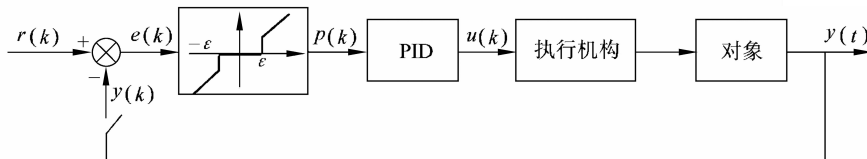


图 5.9 带死区的 PID 控制系统框图

在图 5.9 中,死区 ϵ 是一个可调参数,其具体数值可根据实际控制对象由实验确定。 ϵ 值太小,使调节过于频繁,达不到稳定被调节对象的目的;如果 ϵ 取得太大,则系统将产生很大的滞后;当 $\epsilon=0$ 时,即常规 PID 控制。

该系统实际上是一个非线性控制系统,即当偏差绝对值 $|e(k)| \leq \epsilon$ 时, $p(k)$ 为 0;当 $|e(k)| > \epsilon$ 时, $p(k)=e(k)$, 输出值 $u(k)$ 以 PID 运算结果输出。

5.1.4 数字 PID 控制器的参数整定

在 PID 控制器的结构确定以后,系统的性能好坏主要取决于参数的选择是否合理。因此,PID 算法参数的整定非常重要。数字 PID 算法参数整定的任务主要是确定 K_P 、 T_I 、 T_D 和采样周期 T 。

1. 采样周期 T 的确定

根据香农采样定理,采样周期应满足 $T \leq \pi / \omega_{\max}$, ω_{\max} 为被采样信号的上限角频率。

香农采样定理给出了采样周期的上限 T_{\max} 。采样周期的下限 T_{\min} 为计算机执行控制程序和输入输出所耗费的时间,系统的采样周期只能在 T_{\min} 和 T_{\max} 之间选择。采样周期 T 既不能太大,也不能太小, T 太大时,信号失真比较大; T 太小时,一方面增加了微型计算机的负担,不利于发挥计算机的功能;另一方面,两次采样间的偏差变化太小,数字控制器的输出值变化不大,计算机将失去调节作用。因此,在选择采样周期时,必须综合考虑。

一般应考虑如下因素。

1) 给定值的变化频率

加到被控对象上的给定值变化频率越高,采样频率越高,这样给定值的变化就可以迅速得到反映。

2) 被控对象的特性

若被控对象是慢速变化的对象时,如热工或化工对象,采样周期一般取得较大;若被控